

移動荷重を受ける粘弹性床上の梁の解析

室工大 正員 中村作太郎
 室工大 正員 松岡健一
 室工大 学生員 ○小林茂

1 まえがき

弹性床上のはりの解析は、今日ではすでに解決すみと思われる。また線形粘弹性床上の有限長弹性のはりの問題には、先に園田氏等により静荷重に対して解かれているが、線形粘弹性床上の移動荷重を受ける無限長弹性のはりの問題はまだ取り扱われてないようと思われる。

本論文は、線形粘弹性床上の移動荷重を受ける無限長弹性のはりの定常的応答をなむかにとりへたもの、曲げモーメント、せん断力および基礎反力の各解式を説明したものである。基礎には線形粘弹性の応力歪関係を、はりには弹性のはりの4階微分方程式を用い、その各々を静止座標から移動座標へ変換した後、一次元 Fourier 変換およびその逆変換を行なったものである。

2 線形粘弹性床上の弹性のはりの微分方程式

(a) 静止座標から移動座標への変換 (Fig 1)

Fig 1 より静止座標を x 、移動座標を X 、移動座標の移動速度を V とする。移動荷重 p の中心に移動座標 X の原点をとる。レガラバ、 $x = X + Vt$ の関係があるから

時間微分に対する座標微分に対する

$$\frac{\partial}{\partial t} = -V \frac{\partial}{\partial X}, \quad \frac{\partial}{\partial X} = \frac{\partial}{\partial t} \quad (1)$$

の変換式が成立する。

(b) 移動荷重の移動座標による表現

単位長当たり移動荷重を p_0 、単位長当たり分布荷重を p およびその分布幅を X 座標の原点を中心にして正負方向に各 C_0 フィート分ずつとすると、 x 方向の単位ステップ函数を $\square(x)$ とするとき $p = p_0 [\square(Vt - C_0) - \square(Vt + C_0)]$ 故にこれを移動座標で表わすと

$$p = p_0 [\square(-C_0) - \square(C_0)] \quad (2)$$

(c) はりの微分方程式 はりの曲げ剛性を EI (はりの全長にわたり一定と仮定する)、はりの単位長当たりの荷重を p および断面積を A とするとはりの微分方程式は静止座標では $EI \frac{d^4 y}{dx^4} = p - pA \frac{d^4 y}{dt^4}$ で表わされるが、式(1)を用いて移動座標に変換すると $EI \frac{d^4 y}{dx^4} = p_0 [\square(-C_0) - \square(C_0)] - p - pA \frac{d^4 y}{dt^4}$ ただし、 y には式(2)を用いた。

(d) 境界条件、初期条件、この場合初期条件は必要ないが、境界条件は存する。従って弹性のはりの境界条件は次の通りである。

$$y|_{X=\pm C_0} = \frac{\partial y}{\partial X}|_{X=\pm C_0} = \frac{\partial^2 y}{\partial X^2}|_{X=\pm C_0} = \frac{\partial^3 y}{\partial X^3}|_{X=\pm C_0} = 0 \quad (4)$$

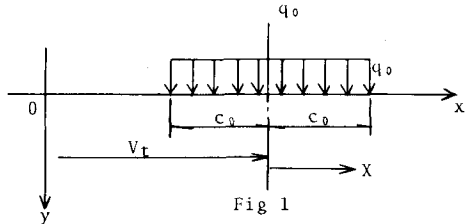
3 基礎の粘弹性力学モデル 線形粘弹性モデルは、ばね、ダッシュボットを基本要素として表現されるが、本論文で用いた基礎の線形粘弹性モデルは、Fig 2 に示す通り 3要素モデルである。Fig 2 に示すマッカスウル要素、ばね要素に分配される荷重を P 、ねじ上げする。記号について、 $k_1, k_2 (\text{kg}/\text{cm}^2)$ をばね定数、系のばね定数を k とし $k = k_1 + k_2$ 、系の力(基礎の反力) $P = p_1 + p_2$ 、粘性定数を $\eta (\text{kg} \cdot \text{sec}/\text{cm})$ 、遅延または緩和時間 $T = \eta/k$ 、系の変形量を y と表わす。

(a) ばね要素 これは Fig 2 の右側部分を表わされ、系の変形量と力は $P = k_2 y$ (5)

の関係が結ばれている。

(b) マッカスウル要素 これは Fig 2 の左側部分を表わされ、系の変形量と力は

$$k_1 \frac{dy}{dt} = \frac{dy}{dt} + \frac{1}{T} y \quad (6)$$



言ふ換えると、Fig 2 のマッスル要素を表現するためには
 $k_2 \rightarrow 0$ ならレメントと所要のモデルに帰着するという事を意味
 でいる。すなはちばねとダッシュポットが直列接続である。

(c) フラット要素 Fig 3 に示す通りの要素はばねとダッシュポットが並列接続である。Fig 2 を Fig 3 に帰着させるとには $k_2 \rightarrow \infty$ とすればよいのであるがこの場合系の力や位形の関係は次の関係で結ばれる。 $P = k_1 \frac{\partial u}{\partial x} + k_2 v$ (7)

(d) 3要素モデル $k = k_1 + k_2$, $P = P_1 + P_2$ の関係と (5), (6) 式から v , P_2 を消去すると、系の力や位形の関係は次の関係で結ばれる。 $\frac{\partial P}{\partial x} + \frac{1}{k_1} P = k \frac{\partial u}{\partial x} + \frac{k_2}{k_1} v$ この式において、 $k_1 \rightarrow \infty$ にすると (7) 式になり、 $k_2 \rightarrow 0$ とし $P \rightarrow P_1$ とすると式 (6)

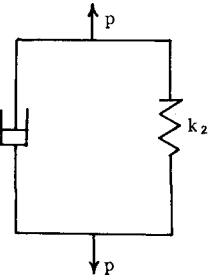
になる。この式を (1) 式の関係を用いて移動座標へ変換すると次式になる。 $\frac{\partial P}{\partial x} - \frac{1}{k_1} P = k \frac{\partial u}{\partial x} - \frac{k_2}{k_1} v$ (8)

(e) 境界条件、初期条件、初期条件は必要なごとく境界条件のみを考える。従って
 柔軟性基礎の境界条件は次の通りである。 $P|_{x=0} = 0$

4 基礎方程式の一次元フーリエ変換および逆変換による解。

(a) 一次元フーリエ変換および逆変換 関数 $f(x)$ および $g(x)$ が $x \in [-\infty, \infty]$ で $f(x) = g(x)$ とする条件を満足するとすると、次の一次元フーリエ変換 $\tilde{f}(z) = \int_{-\infty}^{\infty} f(x) e^{-izx} dx$ (10), $\tilde{g}(z) = g(x) = \int_{-\infty}^{\infty} \tilde{f}(w) e^{izw} dw$ (11)

が成立する。



ここで $j = \sqrt{-1}$ 応答数を表わし、 ψ はフーリエ変換および逆変換のパラメータを表わす。Fig 3

(b) 一次元フーリエ変換および逆変換による基礎方程式の解の説明 基礎方程式 (3) と (8) 式を、 ψ と η を未知数として連立して解く。ここで $K^4 = EI/k_1$, $K_2^4 = EI/k_2$ とおき長さの次元をもつパラメータとする。

(a) はりのたわみ (3) と (8) 式を (4) と (9) 式を考慮して (10) 式を用いてそれとフーリエ変換すると未知数 η のフーリエ変換 ψ の連立方程式が次の様に得られる。 $EI\psi'''' = 2g_0 \sin 3C_0 / 3 - P + SAV^2 \psi^2 \psi$, $(j^3 - 1/\sqrt{4})\psi'' = (jk^3 - k_2^4/\sqrt{4})\psi$ 、この連立方程式から ψ を消去して η を求めると次式が得られる。

$$\eta = \frac{2g_0}{EI} \sin 3C_0 \frac{(3^4 - SAV^2 \psi^2 / EI + 1/K_2^4) / 3 + (\sqrt{4})^2 (3^5 - SAV^2 \psi^3 / EI + 3/K_2^4) - j\sqrt{4} (1/K_2^4 - 1/K^4)}{(3^4 - SAV^2 \psi^2 / EI + 1/K_2^4)^2 + (\sqrt{4})^2 (3^5 - SAV^2 \psi^3 / EI + 3/K_2^4)^2}$$

この式を (11) 式によりフーリエ逆変換する。虚数部は全零で有理化した形が得られる。

$$\eta = \frac{g_0}{EI} \frac{2 \int_0^\infty [(3^4 - SAV^2 \psi^2 / EI + 1/K_2^4) / 3 + (\sqrt{4})^2 (3^5 - SAV^2 \psi^3 / EI + 3/K_2^4)] \cos 3x + \sqrt{4} (1/K_2^4 - 1/K^4) \sin 3x}{(3^4 - SAV^2 \psi^2 / EI + 1/K_2^4)^2 + (\sqrt{4})^2 (3^5 - SAV^2 \psi^3 / EI + 3/K_2^4)^2} \sin 3C_0 dz \quad (12)$$

b) はりの曲げモーメント はりの曲げモーメントは、はり理論から $M = -EI\eta''$ 。(12) 式を 2 度微分した後、この式に代入すると曲げモーメントは次の様に求まる。

$$M = \frac{g_0}{EI} \frac{2 \int_0^\infty [(3^4 - SAV^2 \psi^2 / EI + 1/K_2^4) / 3 + (\sqrt{4})^2 (3^5 - SAV^2 \psi^3 / EI + 3/K_2^4)] \cos 3x + \sqrt{4} (1/K_2^4 - 1/K^4) \sin 3x}{(3^4 - SAV^2 \psi^2 / EI + 1/K_2^4)^2 + (\sqrt{4})^2 (3^5 - SAV^2 \psi^3 / EI + 3/K_2^4)^2} \psi^2 \sin 3C_0 dz \quad (13)$$

c) はりのせん断力 はりのせん断力は $Q = M'$ で、(13) 式を 1 度微分したものとの式に代入すると次の様にはりのせん断力が求まる。

$$Q = -\frac{g_0}{EI} \frac{2 \int_0^\infty [(3^4 - SAV^2 \psi^2 / EI + 1/K_2^4) / 3 + (\sqrt{4})^2 (3^5 - SAV^2 \psi^3 / EI + 3/K_2^4)] \sin 3x - \sqrt{4} (1/K_2^4 - 1/K^4) \cos 3x}{(3^4 - SAV^2 \psi^2 / EI + 1/K_2^4)^2 + (\sqrt{4})^2 (3^5 - SAV^2 \psi^3 / EI + 3/K_2^4)^2} \psi^3 \sin 3C_0 dz \quad (14)$$

d) 基礎反力 (12) 式を (8) 式に代入し、(14) 式を後続線形微分方程式 $\eta' + P(\eta) = Q(\eta)$ の解は、 C を積分定数と $\eta = \exp \{- \int P(\eta) dx\} [\int Q(\eta) \exp \{ \int P(\eta) dx \} + C]$ とし事を用いて解くと基礎反力が求まる。積分定数

C は(9)式を用いると C = 0 であるから基礎反力が次のようになる。

$$P = \frac{2}{\pi} \int_0^\infty \left[\left\{ (\beta^4 - 8A\beta^2 + 1/K_1^2) / \beta + (\tau_1)^2 (\beta^5 - 8A\beta^2 \beta^3/EI + 1/K_1^2) \right\} \left\{ (1/K_2^2 - 1/K_1^2) \beta \sin \beta X - (DL\beta^2/K^4 + 1/K_2^2 V_1) \cos \beta X \right\} + V_1 (1/K_2^2 - 1/K_1^2) \left\{ (\tau_1 \beta^2/K^4 - 1/V_1 K_1^2) \sin \beta X - (1/K_1^2 + 1/K_2^2) \beta \cos \beta X \right\} \right] \sin \beta C_0 \times (\tau_1)^2 + 1 \left\{ (\beta^4 - 8A\beta^2 \beta^3/EI + 1/K_1^2)^2 + (\tau_1)^2 (\beta^5 - 8A\beta^2 \beta^3/EI + 1/K_1^2)^2 \right\} d\beta \quad (15)$$

5 数値計算例および考察 (12)～(15)式を無次元化パラメータ C_0/K , $(K_2/K_1)^2$, $\sqrt{E/\rho}/K$, $V_1\sqrt{E/\rho}$, R/K を用いて無次元化を行った。並に $K_1^2 = EI/k_1$ が長さの次元をもつパラメータ $\sqrt{E/\rho}/K$ は棒を伝わる横波速度, K は回転半径 $R = \sqrt{I/A}$ である。遮延時間に關しては、 $\sqrt{E/\rho}/K = 0$ と 10^3 、速度に關しては $V_1\sqrt{E/\rho} = 0, 0.01, 0.015, 0.02$ の 4 箇につけて各計算を行った。また荷重は集中荷重を考えた。

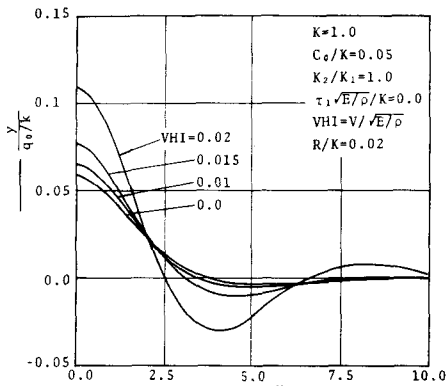


Fig 4

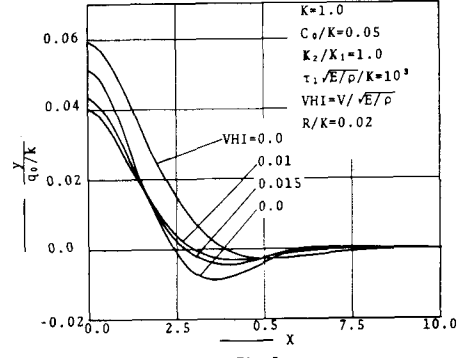


Fig 5

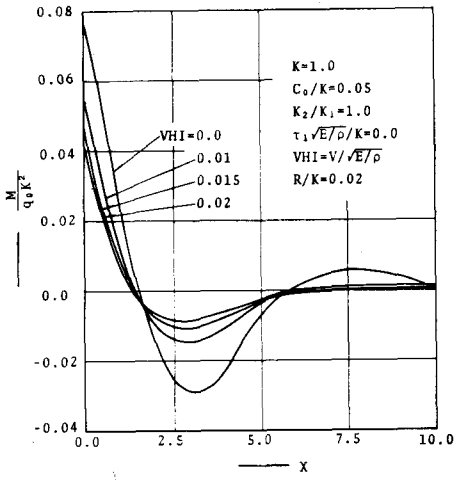


Fig 6

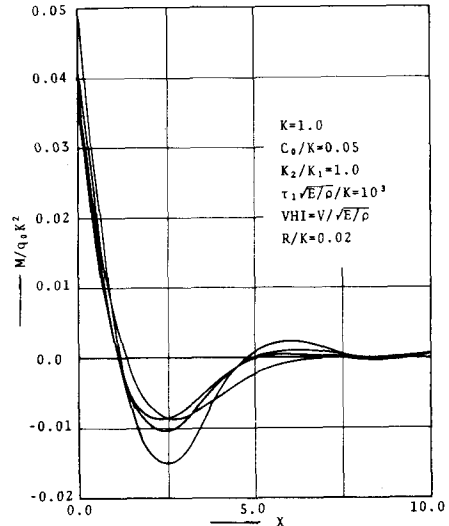


Fig 7

Fig 4, 5 はたわみ曲線、Fig 6, 7 は曲げモーメント曲線、Fig 8, 9 は基礎反力線、Fig 10 はたわみ、曲げモーメントの各静荷重のたわみ y_s 、曲げモーメント M_s に対する応答倍率曲線を表す。

(a)たわみ (Fig 4, 5)、曲げモーメント (Fig 6, 7)、基礎反力 (Fig 8, 9) $\sqrt{E/\rho}/K = 0$ の場合は、粘弹性モデルにおいて弾性アソリングのみが作用する状態となるが、速度 $V_1\sqrt{E/\rho}$ がふるるに従うとその各値は増加する。この時は、当然標記の値は粘性の影響を受けている。 $\sqrt{E/\rho}/K = 10^3$ の場合は、粘性の影響が表われて来る。

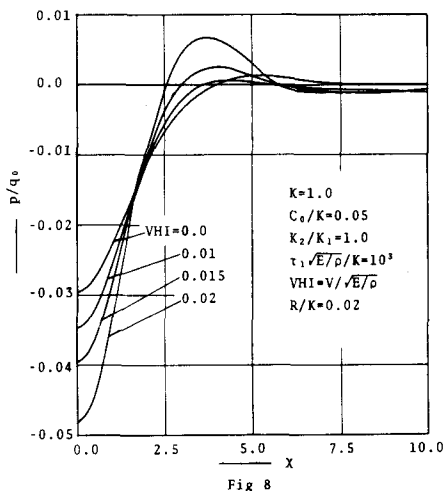


Fig 8

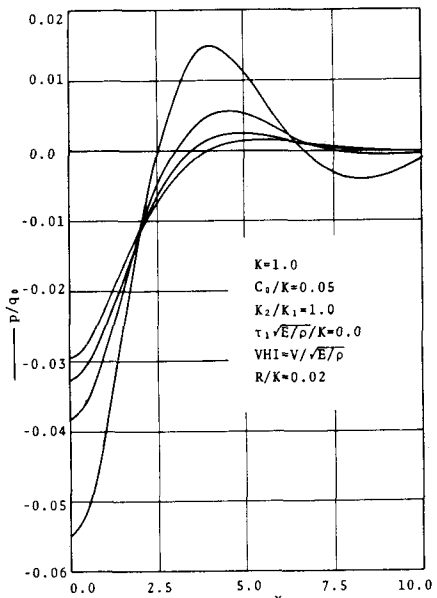


Fig 9

この解析では座標変換を行つたため $\tau_1 = 0$ とした場合時間に關係がなくなり、常に弾性床上の値 $\sqrt{E/\rho}/K = 0$ の場合と一致し速度が増加するに従い移動荷重は注目点をその各速度に応じて通り過ぎる時間が段々遅くなる。従つてたわみ・曲げモーメントの各々がどの値は、粘性項即ちダンピングの効果が表われ弾性床上の場合より減少するが、速度 $V/\sqrt{E/\rho}$ が増加するに従い粘性項の影響が減少し次第に大きくなる。

基礎反力の場合、速度 $V/\sqrt{E/\rho}$ がいる程粘性項の影響が著しく、弾性スプリングの反力にダンピングの効果が加わるため、速度が比較的小さい間は弾性床上の基礎反力値よりも大きくなると思われる。速度がある程度以上になると、荷重は注目点にヒドモニ時時間が減少するので弾性床上の値より小さくなると思われる。

(b) 応答倍率曲線 (Fig 10)

この図は弾性床上の速度 $V/\sqrt{E/\rho} = 0$ の場合のたわみ y 、曲げモーメント M と、速度有限のたわみ y_s 、曲げモーメント M_s の各々の比を示したものである。この図によるとたわみ・曲げモーメントの各値は弾性床上の場合、速度が大きくなるに従い増加していく。然し弾性床上の場合、速度がある $\sqrt{E/\rho}/K = 10^3$ のとき、粘性項の効果のため (a) 述べたと同じく速度がある程度までは減少し、それ以上になると次第に大きくなる。

以上に述べたものは全て荷重前方のものであり、荷重後方の計算は行つていなが、今後行う予定である。

計算は官工大情報センター FACOM 230-28 を使つて行つた。図面作成にあたり頂いた田中、海部両氏に感謝する。

参考文献

- 1) 園田、川林、石尾：線形粘弹性基礎上の荷重の解析、土論、N0.247、1976-3、P1
- 2) W. フリューゲル：粘弹性学

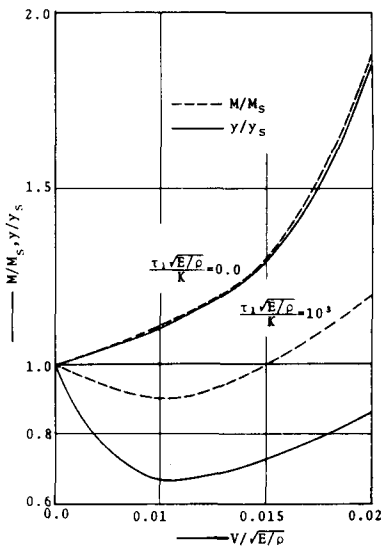


Fig 10